

ارزیابی دقت و سرشکنی شبکه ترازیابی درجه یک ایران

عبدالرضا صفری^{۱*}، یحیی جمور^۲ و عبدالرحمن مصطفایی^۳

^۱ دانشیار، گروه مهندسی نقشهبرداری، پردیس دانشکده‌های فنی، دانشگاه تهران، ایران

^۲ استادیار، آموزشکده نقشهبرداری، سازمان نقشهبرداری کشور، تهران، ایران

^۳ دانشجوی دکتری ژئودزی، گروه مهندسی نقشهبرداری، پردیس دانشکده‌های فنی، دانشگاه تهران، ایران

(دریافت: ۸۸/۴/۲۴ ، پذیرش نهایی: ۱۱/۱۱/۸۹)

چکیده

یکی از مباحث مهم در ژئودزی تعیین ارتفاع نقاط است. برای تعیین ارتفاع نقاط در بیشتر کشورها شبکه‌های ترازیابی ایجاد شده است. مشاهدات در شبکه‌های ترازیابی تحت تاثیر خطاهای سامان‌مند (سیستماتیک) و اتفاقی است. در این مقاله نحوه توزیع خطاهای سامان‌مند و اتفاقی و سرشکنی شبکه ترازیابی مورد بررسی و به منزله تحقیق موردنی دقت شبکه ترازیابی درجه یک در ایران و نحوه توزیع خطاهای اتفاقی و سامان‌مند در این شبکه مورد ارزیابی قرار گرفته است.

واژه‌های کلیدی: ارتفاع ارتمتیریک، شبکه ترازیابی، ستاپ گرانی متوسط، خطای سامان‌مند، خطای اتفاقی

Accuracy evaluation and adjustment of the first order Leveling Network of Iran

Safari, A.¹, Jamour, Y.² and Mostafaei, A.³

¹ Associate Professor, Department of Surveying and Geomatics Engineering, University College of Engineering, University of Tehran, Iran

² Assistant Professor, The Geomatics College of National Cartographic Center of Iran

³ Ph. D. Student of Geodesy, Department of Surveying and Geomatics Engineering, University College of Engineering, University of Tehran, Iran

(Received: 15 July 2009 , Accepted: 8 Feb 2011)

Abstract

In many countries, leveling networks are established for height determination which is one of the most important topics in geodesy. In these networks, the sum of the leveled height differences between A and B will not be equal to the difference in the orthometric heights H_A and H_B . The reason is that the leveling increment δn , as we henceforth denote it, is different from the corresponding increment δH_B of H_B , due to the nonparallelism of the level surfaces. Denoting the corresponding increment of the potential W by δW , we have

$$-\delta W = g \delta n = g' \delta H_B , \quad (1)$$

where g is the gravity at the leveling station and g' is the gravity on the plumb line of B at δH_B . Hence,

$$\delta H_B = \frac{g}{g'} \delta n \neq \delta n \quad (2)$$

There is, thus, no direct geometrical relation between the result of leveling and the orthometric height, since Equation (2) expresses a physical relation. If gravity g is also measured, then

$$\delta W = -g \delta n \quad (3)$$

is determined, so that we obtain

$$W_B - W_A = - \sum_A^B g \delta n \quad (4)$$

Thus, leveling combined with gravity measurements determines potential differences, which are, physical quantities.

It is somewhat more rigorous theoretically to replace the sum in Equation (4) by an integral, obtaining

$$W_B - W_A = - \int_A^B g \, dn \quad (5)$$

Note that this integral is independent of the path of integration. In practical cases, it is better to use geo-potential numbers, which are calculated using Equation (6), instead of potential values.

$$C_A = -(W_A - W_0) \quad (6)$$

Users usually like to work by the geometrical concept of the height. Therefore, the orthometric height of the point A is defined by

$$H_A^O = \frac{C_A}{\bar{g}_A}, \quad (7)$$

where \bar{g}_A is mean value of the gravity along the plumb line between the geoid and the surface point A. According to potential differences, on the other hand, difference between orthometric height of two points is

$$\Delta H_{AB}^O = \frac{W_B - W_A}{\gamma_0} + \frac{\bar{g}_A - \gamma_0}{\gamma_0} H_A - \frac{\bar{g}_B - \gamma_0}{\gamma_0} H_B \quad (8)$$

Where γ_0 is normal gravity for an arbitrary standard latitude.

So, determination of difference in orthometric heights between points is changed to determination of potential differences between them. Then, it is necessary to measure both height difference and gravity along the leveling lines.

Observations in leveling networks are under influence of random and systematic errors. Errors originating from instruments, ambient circumstances and observer, have such character that it is very difficult to remove them from observations, also assessment of leveling accuracy is not an easy task.

Unmodelled systematic effects in levelling may be revealed through autocorrelation function of discrepancies (Vanicek and Craymer, 1983) between the forward and backward running of levelling sections. Test results, conducted with simulated data indicate that autocorrelation function can be used as a diagnostic tool to detect systematic effects.

The aim of this study is accuracy estimation of the first order levelling network of Iran by the Lallemand's and Vignal's formulas as well as test for significant differences between lines caused by different sources of random and systematic errors. Then, computation of section and line discrepancies is explained and the random and systematic error computed by the Lallemand's and Vignal's formulas is portrayed. Next, the theory of analysis of variance is given in outline and practical computations are demonstrated. After that, various kinds of adjustment models for the levelling network adjustment are discussed. Finally, the weight matrix, which is estimated using covariance function, is applied to adjust the network. The obtained results, in this research, showed that there are

considerable systematic errors in the levelling network of Iran.

Key words: Orthometric height, Levelling network, Mean value of the gravity, Systematic error, Random error

۱ مقدمه

$$C_i = -(W_i - W_0) \quad (2)$$

اعداد ژئوپتانسیل گرچه دارای ویژگی مفید یکتا بودن برای هر نقطه هستند و می‌توان آنها را به مثابه یک سامانه ارتفاعی به کار برد، ولی عیب این اعداد این است که واحدشان مجدور متر بر مجدور ثانیه است، درحالی که کاربران اغلب علاقه‌مند به سامانه ارتفاعی دارای واحد متر هستند.

برای برطرف کردن این عیب ارتفاع دینامیک نقطه P_i به صورت زیر تعریف شده است (ونیچک و کراکیوسکی، ۱۹۸۶):

$$H_i^D = \frac{C_i}{\gamma_0} \quad (3)$$

که در رابطه فوق γ_0 شتاب گرانی نرمال در منطقه موردنظر است.

اختلاف ارتفاع دینامیک دو نقطه بر حسب اختلاف پتانسیل دونقطه با رابطه زیر بیان می‌شود (هیسکانن و موریتز، ۱۹۶۷):

$$\begin{aligned} \Delta H_{PQ}^D &= H_Q^D - H_P^D \\ &= \frac{W_0 - W_Q}{\gamma_0} - \frac{W_0 - W_P}{\gamma_0} \\ &= \frac{W_Q - W_P}{\gamma_0} \end{aligned} \quad (4)$$

بنابراین با در اختیار داشتن اختلاف پتانسیل دو نقطه، به راحتی می‌توان اختلاف ارتفاع دینامیک آنها را محاسبه کرد. سامانه مبتنی بر ارتفاعات دینامیک گرچه دارای واحد متر است ولی در آن، نقاط واقع بر یک سطح هم‌پتانسیل دارای ارتفاع دینامیک یکسان هستند و درنتیجه برای بعضی از کاربردها نظری تحقیقات هیدرولوژی مناسب است. برای خیلی از کاربران مفهوم هندسی ارتفاع

مبحث ارتفاعات برخلاف آنچه که در ظاهر به نظر می‌رسد، یکی از مباحث پیچیده دانش ژئودزی است. ساده‌ترین شیوه به منظور تعیین ارتفاع روش ترازیابی است. پس از انتخاب یک نقطه در حکم مبنا می‌توان ارتفاع سایر نقاط را از راه ترازیابی تعیین کرد. به همین دلیل در اکثر کشورها به منظور ایجاد سامانه ارتفاعی برای نقشه‌های پوششی ملی و اهداف ژئودینامیک شبکه‌های ترازیابی دقیق ایجاد شده است.

ارتفاع حاصل از ترازیابی به دلیل وابستگی اختلاف ارتفاع حاصل از ترازیابی به مسیر ترازیابی، یکتا نیست. بنابراین نمی‌توان این روش را در حکم یک روش مناسب در تعیین ارتفاع نقاط به کار برد (ونیچک و کراکیوسکی، ۱۹۸۶؛ سانسو و ونیچک، ۲۰۰۶ و جکلی، ۲۰۰۰). مشکل را می‌توان با تبدیل نتایج وابسته به مسیر به نتایج مستقل از مسیر حل کرد. برای دو سطح هم‌پتانسیل نزدیک به هم رابطه زیر برقرار است (ونیچک و کراکیوسکی، ۱۹۸۶):

$$\delta W \doteq -g\delta h \quad (1)$$

می‌توان اختلاف ارتفاع δh را که کمیتی وابسته به مسیر است به اختلاف پتانسیل δW که کمیتی مستقل از مسیر است، تبدیل کرد. لذا با اندازه‌گیری شتاب گرانی در طول خط ترازیابی می‌توان اختلاف پتانسیل بین دو نقطه را که مستقل از مسیر است به دست آورد. بنابراین می‌توان به هر نقطه P_i یک پتانسیل W_i نسبت داد. در عملکرد، استفاده از عدد ژئوپتانسیل به جای پتانسیل W_i بهتر است. عدد ژئوپتانسیل C_i مربوط به نقطه P_i به صورت زیر تعریف می‌شود (هیسکانن و موریتز، ۱۹۶۷ و هافمن ولنهوف و موریتز، ۲۰۰۶):

تحقیقات زیادی به منظور برآورد دقت شبکه ترازیابی دقیق و نیز اثر خطاهای سامانمند و اتفاقی در این شبکه‌ها صورت گرفته است که از آن جمله می‌توان به کارهای (ویگنان، ۱۹۳۶؛ واسف، ۱۹۵۷؛ واسف و مش، ۱۹۶۰؛ واسف، ۱۹۶۲ و واسف، ۱۹۷۴) اشاره کرد. در طی این مدت چندین روش برای برآورد دقت در شبکه‌های ترازیابی عرضه شده است. ضرورت انجام ترازیابی دقیق اولین بار در دومین کنفرانس نقشه‌برداری برلین در ۱۸۶۷ مطرح، و روابط استانداردی برای آن پیشنهاد شد. سپس در کنفرانس بین المللی نقشه‌برداری هامبورگ در ۱۹۱۲ فرمول‌های لامند برای خطاهای سامانمند و اتفاقی در شبکه‌های ترازیابی پذیرفته شد. در اسلو مجمع بین المللی انجمان ژئودزی در ۱۹۴۸، فرمول‌های خطای ترازیابی را بازبینی کرد و روش ویگنان در محاسبه دقت ترازیابی را پذیرفت (لیسکویچ و لونزیک، ۲۰۰۵).

بعد از ۱۹۵۵، از سوی واسف و مش در مقالاتی چون (واسف، ۱۹۵۵؛ واسف و مش، ۱۹۶۰ و واسف، ۱۹۶۲) کاربرد آماره‌های ریاضی، برای آنالیز واریانس در بررسی اختلاف‌های (Discrepancy) قطعات ترازیابی، براساس آزمونی موسوم به آزمون فیشر مطرح شده است.

از جمله کارهای صورت گرفته مرتبط با شبکه ترازیابی دقیق ایران و خطاهای موجود در این شبکه نیز می‌توان به (وثوقی، ۱۹۹۴؛ موسوی، ۱۹۹۶؛ معمارزاده، ۱۹۹۸؛ کریمی، ۱۳۸۲ و یوسفی، ۱۳۸۶) اشاره کرد. تا کنون به منظور محاسبه ارتفاع ارتمتریک در شبکه ترازیابی دقیق ایران تلاشی صورت نگرفته است. اغلب کارهای به انجام رسیده، در مورد خطاهای سامانمند موجود در شبکه ترازیابی، اثراشان و مدل‌های مربوط به آنها بوده است و از تحقیقات صورت گرفته در ارتباط با محاسبه ارتفاعات می‌توان به کارهای (کریمی، ۱۳۸۲ و یوسفی، ۱۳۸۶) اشاره کرد. در مورد اول (کریمی،

جذاب‌تر است. بهمین دلیل سامانه ارتفاع ارتمتریک تعریف شده است. ارتفاع ارتمتریک در نقطه P_i به صورت زیر تعریف می‌شود (هیسکانن و موریتز، ۱۹۶۷):

$$H_i^O = \frac{C_i}{\bar{g}_i} \quad (5)$$

که در رابطه فوق C_i عدد ژئوپتانسیل نقطه P_i ، و \bar{g}_i شتاب گرانی متوسط در امتداد خط شاقول گذرنده از نقطه P_i است.

اختلاف ارتفاع ارتمتریک بر حسب اختلاف ارتفاع دینامیک و اختلاف پتانسیل با رابطه زیر بیان می‌شود (هیسکانن و موریتز، ۱۹۶۷):

$$\begin{aligned} \Delta H_{PQ}^O &= \Delta H_{PQ}^D \\ &+ \frac{\bar{g}_P - \gamma_0}{\gamma_0} H_P - \frac{\bar{g}_Q - \gamma_0}{\gamma_0} H_Q \\ &= \frac{W_Q - W_P}{\gamma_0} + \\ &\quad \frac{\bar{g}_P - \gamma_0}{\gamma_0} H_P - \frac{\bar{g}_Q - \gamma_0}{\gamma_0} H_Q \end{aligned} \quad (6)$$

بنابراین با در اختیار داشتن اختلاف پتانسیل دو نقطه می‌توان اختلاف ارتفاع ارتمتریک دو نقطه را محاسبه کرد. بنابراین مسئله تعیین اختلاف ارتفاع ارتمتریک به تعیین اختلاف پتانسیل دو نقطه تبدیل می‌شود.

به منظور تعیین اختلاف پتانسیل در شبکه ترازیابی علاوه بر اندازه گیری اختلاف ارتفاع بین نقاط، قدرمطلق شتاب گرانی در طول خط ترازیابی نیز اندازه گیری می‌شود. اندازه گیری‌های صورت گرفته در شبکه‌های ترازیابی نظیر سایر کارهای نقشه‌برداری، تحت تأثیر عواملی چون اشتباه‌ها، خطاهای سامانمند و خطاهای اتفاقی قرار دارند که قبل از محاسبات باید مورد بررسی قرار گیرند و اثرات این عوامل از مشاهدات حذف یا کم شود. مشاهدات اشتباه با یک رشته از کنترل‌ها قابل تشخیص و حذف است و مشاهدات مربوط باید دوباره صورت گیرد. از طرف دیگر در طی قرن گذشته،

(۲) تغییرات بین گروهی (Between-groups) تغییرات درون هر گروه معمولاً به عوامل اتفاقی و بخشی از تغییرات بین گروهها به عوامل اتفاقی و بخش دیگر آن به خطاهای سامانمندی که ممکن است در بین گروههای گوناگون وجود داشته باشد نسبت داده می‌شود. هدف از آنالیز واریانس آزمونی برای اختلافات معنی‌دار بین میانگین‌ها به کمک بررسی واریانس‌ها است. با تقسیم‌بندی تغییرات کلی به منابع گوناگون مثلاً به خطوط ترازیابی، امکان مقایسه واریانس حاصل از تغییرات بین گروهها با واریانس حاصل از تغییرات درون گروهی وجود خواهد داشت.

با فرض اینکه شبکه ترازیابی شامل m خط L_1, L_2, \dots, L_m باشد و خط L_i شامل $n_i + 1$ بنج مارک که خط را به n_i قطعه تقسیم می‌کند. بنابراین تعداد کل قطعات در کل شبکه از رابطه زیر به دست می‌آید

$$n = \sum_{i=1}^m n_i \quad (7)$$

اگر خط i و قطعه j در این خط در نظر گرفته شود، اختلافات Δ_{ij} به معنی اختلاف بین اندازه‌گیری‌های رفت و برگشت قطعه ij است و

$$w_{ij} = \frac{\Delta_{ij}}{r_{ij}} \quad (8)$$

به معنی اختلاف در واحد کیلومتر در طول قطعه ij است یا r_{ij} ، بر حسب کیلومتر است. فرض می‌شود که w_{ij} از جمعیتی نرمال گرفته شده باشد. مقدار میانگین اختلافات در خط i

$$\bar{w}_i = \frac{1}{n_i} \sum_{j=1}^{n_i} w_{ij} \quad (9)$$

و میانگین همه اختلافات w_{ij} در شبکه به صورت زیر است.

$$\bar{w} = \frac{1}{n} \sum_{i=1}^m \sum_{j=1}^{n_i} w_{ij} = \frac{1}{n} \sum_{i=1}^m n_i \bar{w}_i \quad (10)$$

به منظور آنالیز واریانس، مدل بیان شده برای متغیر w_{ij} در

(۱۳۸۲) اعداد ژئوپتانسیل برای کل شبکه ترازیابی دقیق ایران با مدل‌سازی گرانی در نشان‌های بدون گرانی این شبکه و با فرض استقلال مشاهدات محاسبه شد و ارتفاعات دینامیک در شبکه با توجه به اعداد ژئوپتانسیل محاسبه شده به دست آمد. پس از آن در مورد دیگر، (یوسفی، ۱۳۸۶) ارتفاعات نرمال در شبکه محاسبه شد. در این مقاله علاوه بر بررسی خطاهای سامانمند و اتفاقی در شبکه ترازیابی دقیق ایران، اختلاف ارتفاع دینامیک و اختلاف ارتفاع ارتومنتریک در شبکه ترازیابی ایران محاسبه شده است.

در این مقاله ابتدا در بخش دوم آنالیز واریانس در شبکه‌های ترازیابی دقیق و فرمول‌های لامنده و ویگانل برای بررسی خطاهای اتفاقی و سامانمند در شبکه‌های ترازیابی معرفی شده است. در بخش سوم نحوه سرشکنی و مدل ریاضی برای سرشکنی شبکه‌های ترازیابی و تعیین ماتریس واریانس و کواریانس در سرشکنی مورد بررسی قرار گرفته است. در بخش چهارم به منزله بررسی موردهای شبکه ترازیابی درجه یک ایران مورد بررسی قرار گرفته و سرانجام نتایج در بخش پنجم عرضه شده است.

۲ بررسی دقت در شبکه‌های ترازیابی دقیق

۲-۱ آنالیز واریانس (Analysis of variance)

نام آنالیز واریانس از این حقیقت گرفته شده است که هنگامی که متغیری تحت تأثیر دو فاکتور قرار می‌گیرد، اثبات می‌شود که آنها مستقلانه عمل می‌کنند و واریانس کل مشاهدات مجموع واریانس‌های مربوط به هر فاکتور است. بنابراین امکان تقسیم واریانس کل به مؤلفه‌هایش و ارزیابی اعتبار این مؤلفه‌ها وجود دارد. در ساده‌ترین حالت بدین معنی است که اگر مجموعه‌ای از m گروه از مشاهدات وجود داشته باشد، واریانس کل برای این m گروه را می‌توان به دو قسم تقسیم کرد (ابنگ، ۱۹۸۵):

(۱) تغییرات درون گروهی (Within-group)

$$F = \frac{S_B^2}{S_w^2} \quad (15)$$

می‌توان برای آزمودن فرض صفر به صورت زیر استفاده کرد:

$$H_0 : \bar{w}_1 = \bar{w}_2 = \bar{w}_3 = \dots = \bar{w}_m \quad (16)$$

ولی اگر میانگین همه خطوط با هم برابر باشند پس برابر با میانگین کل \bar{w} خواهد بود، بنابراین فرض صفر را می‌توان به صورت زیر بازنویسی کرد:

$$\text{برای همه } i : \beta_i = 0$$

بنابراین با توجه به H_0 انتظار می‌رود که جامعه حاصل از مشاهدات از توزیع نرمال با واریانس σ^2 تبعیت کند و فرض مخالف را می‌توان به صورت زیر نوشت:

$$\text{همه } \bar{W}_i \text{ ها برابر نیستند} : H_1$$

براساس فرض صفر، بایستی واریانس برآورد شده از تغییرات درون‌گروهی S_w^2 با واریانس برآورد شده از تغییرات بین‌گروهی S_A^2 یکسان باشد و هر اختلافی بین میانگین خطوط، سبب افزایش S_A^2 و بنابراین بزرگ شدن F می‌شود.

$$F = \frac{S_B^2}{S_w^2} > F_{1-\alpha}(m-1, n-m) \quad (17)$$

رابطه (17) نشان‌دهنده پذیرفته نشدن فرض صفر است. اینمان‌های این آنالیز به صورت جدول ۱ است.

جدول ۱. پارامترهای آنالیز واریانس خطوط ترازیابی.

F_{theo}	F	میانگین مربعات (MS, Mean squares)	درجه آزادی (DF, Degree of freedom)	مجموع مربعات (SS, Sum of squares)	منبع تغییرات
$F_{1-\alpha}(m-1, n-m)$	$F = \frac{S_B^2}{S_w^2}$	S_B^2	$m-1$	Q_B	بین خطوط
		S_w^2	$n-m$	Q_w	درون خطوط
		S^2	$n-1$	Q	کلی

معادله (۸) را می‌توان به صورت ترکیب سه مؤلفه بیان شود (ابنگ، ۱۹۸۵):

$$w_{ij} = \bar{w} + \beta_i + \varepsilon_{ij} \quad (11)$$

β_i اثر یک خط بر خطوط وابسته دیگر (عبارت مربوط به خطای سامان‌مند) و ε_{ij} مقدار باقی‌مانده است که نرمال و میانگین آن صفر است. \bar{w} و β_i پارامترهای غیر اتفاقی هستند و اثر مدل شده ثابتی دارند، پس معادله به صورت زیر نوشته می‌شود.

$$w_{ij} = \bar{w}_i + \varepsilon_{ij} \quad (12)$$

و درنهایت مجموع مربعات بین w_{ij} و \bar{w} (ابنگ، ۱۹۸۵):

$$Q = \sum_{i=1}^m \sum_{j=1}^{n_i} (w_{ij} - \bar{w})^2$$

$$Q = \sum_{i=1}^m n_i (\bar{w}_i - \bar{w})^2 + \sum_{i=1}^m \sum_{j=1}^{n_i} (w_{ij} - \bar{w}_i)^2 \quad (13)$$

$$= Q_B + Q_W$$

Q_B مجموع مربعات اختلافات بین خطوط ترازیابی است که ناشی از دو منبع متفاوت از خط‌ها در یک خط است؛ درصورتی که Q_W مجموع مربعات بین اختلافات w_{ij} و مقادیر میانگین \bar{w}_i یک خط است.

عبارت‌های

$$S_B^2 = \frac{Q_B}{m-1}, \quad S_w^2 = \frac{Q_W}{n-m} \quad (14)$$

برآوردهای نااربی از واریانس اولیه هستند و از رابطه زیر

$$s^2 = \frac{1}{4\sum L} \sum \frac{\mu^2}{L} \quad (20)$$

یا با استفاده از خطای بست لوب‌ها به صورت:

$$s^2 = \frac{1}{\sum F^2} \left[\frac{1}{2} \sum \phi^2 - \eta^2 \sum F \right] \quad (21)$$

محاسبه می‌شود، که در آن، F طول لوب، ϕ خطای بست لوب است.

۳-۲ فرمول‌های ویگنان

همان‌طور که در ابتدا ذکر شد، در مجمع اسلو اتحادیه بین المللی ژئودزی در ۱۹۴۸، فرمول‌های خطای ترازیابی مجددًا بازبینی شده و شیوه‌ای جدید برای روش برآورد دقیق ترازیابی پذیرفته شد. خطاهای به دو گروه تقسیم شدن، گروه اتفاقی و گروه سامانمند، که مستقل از یکدیگر فرض شده‌اند.

خطاهای اتفاقی از منابعی ناشی می‌شوند که در همه مشاهدات متواالی مستقل هستند و از قانون توزیع خطای گاووس پیروی می‌کنند. خطاهای سامانمند ناشی از عواملی هستند که روی مشاهدات ترازیابی همسایه یا متواالی به طور مشابهی تأثیر می‌گذارند و از قانون گاووس پیروی نمی‌کنند. آنها فقط برای فواصلی که از یک فاصله حدی مجاز Z (چند ده کیلومتر) تجاوز می‌کنند به صورت اتفاقی عمل می‌کنند (لیسکویچ و لونزیک، ۲۰۰۵).

با توجه به این فرمول‌ها خطای کلی در شبکه را می‌توان محاسبه کرد، ابتدا مقدار حدی اتفاقی متوسط خطای کلی (Mean accidental limiting value)

محاسبه می‌شود:

$$u_L^2 = \frac{1}{4n_L} \sum \frac{\mu^2}{L} \quad (22)$$

که n_L تعداد خطوط در شبکه است. یا از فرمول

$$u_F^2 = \frac{1}{n_F + 1} \left(\sum \frac{\phi^2}{F} + \frac{\phi_e^2}{F_e} \right) \quad (23)$$

که ϕ_e خطای بست لوب محیطی، F_e طول لوب محیطی و

در شبکه‌های ترازیابی دقیق، خطاهای از عواملی نظیر عوامل دستگاهی، عوامل محیطی و عوامل انسانی ناشی می‌شود و حذف این خطاهای از مشاهدات کار مشکلی است؛ به نحوی که ارزیابی دقیق ترازیابی کار ساده‌ای ناست. در طی قرن گذشته روش‌های مختلفی برای برآورد دقیق شبکه ترازیابی ارائه شده است. از جمله مهمترین این روش‌ها می‌توان فرمول‌های لالمند (Lallemand's formula) و فرمول‌های ویگنان (Vignal's formula) را نام برد.

۲-۲ فرمول‌های لالمند

این فرمول‌ها در کنفرانس عمومی نقشه‌برداری بین‌المللی در هامبورگ در سال ۱۹۱۲ برای خطاهای اتفاقی و خطاهای سامانمند در شبکه‌های ترازیابی ارائه شد (لیسکویچ و لونزیک، ۲۰۰۵).

اگر همه خطاهای اتفاقی باشند، انحراف معیار σ_L یک خط ترازیابی به طول L کیلومتر را می‌توان بصورت $\eta\sqrt{L}$ بیان کرد. برای زمانی که خطای سامانمند نیز وجود دارد می‌توان فرمول زیر را در نظر گرفت:

$$\sigma_L = \sqrt{\eta^2 L + s^2 L^2} \quad (18)$$

که η خطاهای اتفاقی جمع شونده بر حسب mm/\sqrt{km} متناسب با \sqrt{L} و s خطاهای سامانمند جمع شونده متناسب با L است.

بر اساس فرمول‌های ارائه شده، خطای متوسط اتفاقی به صورت:

$$\eta^2 = \frac{1}{4} \left[\frac{\sum \Delta^2}{\sum L} - \frac{\sum r^2}{(\sum L)^2} \sum \frac{\mu^2}{L} \right] \quad (19)$$

محاسبه شده که در آن L طول خط ترازیابی، μ خطای بست در خط ترازیابی، r طول قطعه ترازیابی و Δ اختلاف ارتفاع رفت و برگشت در قطعه ترازیابی است. خطای متوسط سامانمند نیز به صورت

که در این رابطه ΔW_{ij} اختلاف پتانسیل بین نشانهای P_i و P_j و W_i و W_j به ترتیب پتانسیل نقاط P_i و P_j و g_i و g_j به ترتیب شتاب گرانی در نشانهای P_i و P_j و Δh_{ij}^F اختلاف ارتفاع رفت و برگشت بین بنچ مارک های P_i و P_j که اثر خطاهای سامانمند از روی آن برداشته شده است، هستند.

مدل شرط به صورت $B\hat{v} + w = 0$ تعریف می شود. در این مدل صفر شدن مجموع اختلاف پتانسیل های قطعات ترازیابی در یک لوپ بسته اساس سرشکنی قرار گرفته است و مشاهدات، میانگین اختلاف پتانسیل های رفت و برگشت هستند. یعنی بردار مشاهدات به صورت $\hat{v} = (\Delta W_{ij})_l$ است. معادله مربوط به مدل شرط به صورت زیر است.

$$\begin{aligned} & \sum_{k=1}^{n_i} (\Delta \hat{W}_{ij})_k \\ &= \sum_{k=1}^{n_i} \left(\frac{\hat{g}_i + \hat{g}_j}{2} \times \frac{\Delta \hat{h}_{ij}^F - \Delta \hat{h}_{ij}^B}{2} \right)_k \\ &= 0 \end{aligned} \quad (29)$$

که n_i تعداد قطعه های هر لوپ است. جواب کمترین مربعات این مدل از رابطه زیر بدست می آید.

$$\hat{v} = -P^{-1}B^T (BP^{-1}B^T)^{-1} w \quad (30)$$

که w بردار خطاهای بست پتانسیلی لوپ ها است. درنهایت بردار اختلاف پتانسیل های سرشکن شده قطعات ترازیابی از رابطه زیر قابل محاسبه است.

$$\Delta \hat{W} = \Delta W + \hat{v} \quad (31)$$

در این مدل تعداد معادلات برابر تعداد لوپ ها و تعداد مشاهدات برابر تعداد قطعات است.

۲-۳ تابع کواریانس و وزن مشاهدات

اگر اختلاف ارتفاع ΔH که مجموع اختلاف های δH_i قطعات یک خط است (شکل ۱) به صورت زیر نوشته شود:

$$\Delta H = \sum_{i=1}^n \delta H_i = u \delta H \quad (32)$$

n_F تعداد لوپ ها است، متوسط خطای اتفاقی به صورت زیر محاسبه می شود:

$$\eta^2 = u_r^2 - \bar{\epsilon}^2 \times j^2 \quad (24)$$

که

$$u_r = \frac{1}{4n_r} \sum \frac{\Delta^2}{r} \quad (25)$$

$$j^2 = \frac{k}{Z} \times r_m \quad (26)$$

در رابطه بالا $k = 2$ و Z متوسط طول خطوط مورد استفاده است. و درنهایت خطای سامانمند عبارت است از:

$$\bar{\epsilon}^2 = u_L^2 - \eta^2 \quad (27)$$

۳ مدل های ریاضی و سرشکنی شبکه

به منظور سرشکنی لوپ های شبکه ترازیابی دقیق، از این موضوع که پتانسیل کمیتی مستقل از مسیر است استفاده می شود و اختلاف پتانسیل های تعديل شده قطعات ترازیابی برآورده می شود که با استفاده از آنها می توان اعداد ژئوپتانسیل و در نتیجه ارتفاعات ارتو متريک در نقاط شبکه ترازیابی را محاسبه کرد. همچنین به منظور سرشکنی می توان از یکی از مدل های ترکیبی، پارامتریک یا خطی استفاده کرد. از میان این مدل ها، مدل شرط با میانگین اختلاف ارتفاعات رفت و برگشت، برای سرشکنی مناسب تر است. از مدل های ترکیبی و پارامتریک به دلیل بزرگ شدن ابعاد ماتریس ها و مشکل محاسبات با ابزارهای موجود، استفاده نمی شود. بدین منظور فقط جزئیات مربوط به مدل شرط بیان می شود.

۱-۳ سرشکنی براساس اختلاف پتانسیل ها

معادله مربوط به محاسبه اختلاف پتانسیل بین نشانهای i و j به صورت زیر است.

$$\begin{aligned} \Delta W_{ij} &= W_j - W_i \\ &= \frac{g_i + g_j}{2} \times \frac{\Delta h_{ij}^F - \Delta h_{ij}^B}{2} \end{aligned} \quad (28)$$

$$\text{که در آن } u = [1 \ 1 \ \dots \ 1] \text{ است.}$$

$$.i = |k - l| \text{ و } r_i = \frac{\sigma_{kl}}{\sigma_k \sigma_l} \quad \text{پس}$$

$$\sigma_{\Delta H}^2 = \sigma_1^2 \left[n + 2 \sum_{i=1}^{n-1} (n-i) r_i \right] \quad (37)$$

به ازای $r_i = 0$ استقلال آماری و رابطه (۳۴) حاصل شده و به ازای $r_i = 1$ وابستگی کلی اختلاف ارتفاعات که حالت حدی دیگر است حاصل می‌شود؛ بنابراین محدوده واریانس یک خط ترازیابی با نامساوی زیر نشان داده می‌شود (ونیچک و کراکیوسکی، ۱۹۸۶).

$$\sigma_1^2 S \leq \sigma_{\Delta H}^2 \leq \sigma_1^2 S^2 \quad (38)$$

آنچه باقی می‌ماند ساختار ماتریس کواریانس $C_{\delta H}$ است که کاملاً به تابع کواریانس وابسته است. یکی از توابع هم خانواده با تابع کواریانس پیشنهاد شده LUCHT در ۱۹۷۲ به صورت زیر است (ونیچک و کراکیوسکی، ۱۹۸۶)؛

$$Cov(\lambda; |S - S'|) = \lambda^{|S - S'|} = \lambda S_s \quad (39)$$

که λ تنها پارامتر تابع است، و $S_s = |S - S'|$ فاصله بین نقاط میانی دو قطعه ترازیابی موردنظر است.

با توجه به رابطه (۳۸)، خانواده منحنی‌های توزیع خطای مرتبط با توابع کواریانس دارای حدود \sqrt{S} و S هستند (شکل ۲). با توجه به این حقیقت می‌توان به قانون توان که توزیع خطاهای وابسته آماری را کنترل می‌کند پی بردا (ونیچک و کراکیوسکی، ۱۹۸۶).

$$\frac{\sigma_{\Delta H}}{\sigma_1} = S^\alpha, \quad 0.5 \leq \alpha \leq 1 \quad (40)$$

پس از محاسبه مقدار α ، واریانس اختلاف ارتفاع هر خط یا قطعه ترازیابی با طول S_i از رابطه زیر قابل محاسبه است.

$$\sigma_i^2 = (\sigma_1 S_i^\alpha)^2 \quad (41)$$



شکل ۱. خط ترازیابی.

برای سرشکنی شبکه باید ماتریس وزن مشاهدات $C_{\delta H}$ معلوم باشد. یک حالت زمانی است که اختلاف ارتفاعات δH_i ها مستقل باشند، پس واریانس مشاهده ΔH به صورت زیر است.

$$\sigma_{\Delta H}^2 = \sum_{i=1}^m \sigma_{\delta H_i}^2 \quad (33)$$

اگر همه اختلاف ارتفاعات δH_i در یک خط با دقت یکسانی اندازه‌گیری شوند، $\sigma_{\delta H_i}^2$ واریانس اختلاف ارتفاع در امتداد طول واحد، معمولاً برای فاصله یک کیلومتری است.

$$\sigma_{\Delta H}^2 = \sigma_1^2 \sum_{i=1}^m \Delta s_i = \sigma_1^2 S \quad (34)$$

$$\Rightarrow \sigma_{\Delta H} = \sigma_1 \sqrt{S}$$

رابطه فوق گاهی قانون ریشه دوم (Square-root law) نیز خوانده می‌شود زیرا توزیع انحراف معیارها را با ریشه دوم فاصله مرتبط می‌سازد (ونیچک و کراکیوسکی، ۱۹۸۶).

در صورتی که مشاهدات مستقل نباشند

$$\sigma_{\Delta H}^2 = u C_{\delta H} u^T \quad (35)$$

$C_{\delta H}$ ماتریس کواریانس اختلاف ارتفاعات قطعات متواالی یک خط است و برای سادگی فرض شده است که طول قطعات Δs_i برابر است. ماتریس کواریانس ($C_{\delta H}$) را بر حسب ضرایب همبستگی (Correlation) به صورت زیر می‌توان نشان داد.

$$C_{\delta H} = \sigma_1 \begin{bmatrix} 1 & r_1 & r_2 & \dots & r_n \\ r_1 & 1 & r_1 & r_2 & \dots \\ r_2 & r_1 & 1 & \ddots & \vdots \\ \vdots & \vdots & \ddots & \ddots & \vdots \\ r_n & r_{n-1} & \dots & r_1 & 1 \end{bmatrix} \quad (36)$$

مخصوص آن خط را محاسبه کرد و میانگین α_i های خطوط موردنظر در هر منطقه را در حکم α مخصوص آن منطقه در نظر گرفت.

مسئله‌ای که در تعیین λ در خانواده توابع کواریانس پذیرفته شده رابطه (۳۹) وجود دارد این است که در رابطه (۳۵) فرض شده که طول قطعات برابر است، ولی در واقعیت طول قطعات یکسان نیست. بنابراین ابتدا با درونیابی، داده‌های با طول قطعات یکسان به دست می‌آید و پس از آن λ برای منطقه محاسبه می‌شود و با استفاده از تابع کواریانس رابطه (۳۹) و از رابطه (۴۲)، مؤلفه‌های کواریانس برای مشاهدات اختلاف ارتفاع برآورد می‌شود.

۳-۳ تعیین ماتریس وزن مشاهدات سرشکنی

پس از تعیین ماتریس واریانس-کواریانس مشاهدات ترازیابی ($C_{ll''}$) با محاسبه ماتریس واریانس-کواریانس مشاهدات سرشکنی (C_{ll}) از روابط زیر می‌توان با رابطه

$$P = \sigma_0^2 C_{ll}^{-1}$$

$$l = f(l')$$

$$C_{ll} = J_{ll'} C_{l'l'} J_{ll'}^T$$

$$J_{ll'} = \frac{\partial f}{\partial l'}$$

$$\Delta W_k = \frac{g_i + g_j}{2} \times \frac{\Delta h_k^F - \Delta h_k^B}{2}$$

$$l = (\Delta W_i)$$

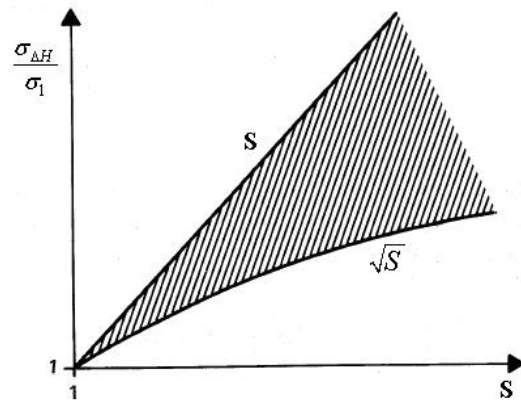
$$l' = (\Delta h_k^F, \Delta h_k^B, g_i, g_j)^T \quad \text{که}$$

$$f = (f_1, f_2, \dots, f_m)^T = (\Delta W_1, \Delta W_2, \dots, \Delta W_m)^T$$

ساختار ماتریس‌های ژاکوبی ($J_{ll'}$) و واریانس-

کواریانس مشاهدات ترازیابی ($C_{ll''}$) به صورت زیر است

$$J_{ll'} = \begin{bmatrix} \frac{\partial f_1}{\partial \Delta h_1^F} & \frac{\partial f_1}{\partial \Delta h_1^B} & \cdots & \frac{\partial f_1}{\partial \Delta h_m^F} & \frac{\partial f_1}{\partial \Delta h_m^B} & \cdots & \frac{\partial f_1}{\partial g_1} & \cdots & \frac{\partial f_1}{\partial g_n} \\ \vdots & \vdots & \ddots & \vdots & \vdots & \ddots & \vdots & \ddots & \vdots \\ \frac{\partial f_m}{\partial \Delta h_1^F} & \frac{\partial f_m}{\partial \Delta h_1^B} & \cdots & \frac{\partial f_m}{\partial \Delta h_m^F} & \frac{\partial f_m}{\partial \Delta h_m^B} & \cdots & \frac{\partial f_m}{\partial g_1} & \cdots & \frac{\partial f_m}{\partial g_n} \end{bmatrix}$$



شکل ۲. خانواده قوانین انتشار خطاهای

با محاسبه مقادیر واریانس از رابطه (۴۱) با استفاده از خانواده پذیرفته شده توابع کواریانس، رابطه (۳۹)، درایه‌های ماتریس $C_{\delta H}$ از رابطه زیر قابل محاسبه است.

$$\sigma_{ij} = \sigma_i \sigma_j \text{Cov}(\lambda; |S - S'|) \quad i, j = 1, 2, \dots, n \quad (42)$$

۱-۲-۳ محاسبه مقادیر α و λ

معمولًاً دقت شبکه‌های ترازیابی دقیق بزرگ براساس خطای بست Δ حاصل از ترازیابی رفت و برگشت هر قطعه (u_L) از رابطه (۲۵) و براساس خطای بست μ ترازیابی رفت و برگشت یک خط (u_L) از رابطه (۲۲) محاسبه می‌شود. این خطاهای قبل از سرشکنی شبکه برآورد می‌شوند (لیسکویچ و جکویچ، ۲۰۰۷).

پس از محاسبه u_R و u_L ، با در نظر گرفتن طول متوسط خط ترازیابی S_m برای شبکه ترازیابی یک منطقه خاص با استفاده از معادله $\sigma_{\Delta H} = u_L S_m^{0.5}$ و $\sigma_1 = u_R$ مقدار کسر $\frac{\sigma_{\Delta H}}{\sigma_1}$ برای این منطقه محاسبه می‌شود و با استفاده از معادله زیر

$$\alpha = \frac{\ln \left(\frac{\sigma_{\Delta H}}{\sigma_1} \right)}{\ln S_m} \quad (43)$$

مقدار α محاسبه می‌شود.

در شبکه‌های با وسعت زیاد با طول خطوط ناهمگن به همین روش می‌تواند ابتدا برای هر خط ترازیابی مقدار α_i

دقیق از سوی سازمان نقشه‌برداری کشور آزمون شده‌اند.

۵-۳ پردازش‌های بعد از سرشکنی

در پردازش‌های قبل از سرشکنی فقط امکان آزمون سازگاری مشاهداتی وجود دارد که به صورت تکراری باشد ولی در پردازش‌های بعد از سرشکنی، امکان آزمون مشاهدات متفاوت از نظر سازگاری وجود دارد. در این مرحله هدف کنترل کلیه مراحل صورت گرفته در سرشکنی است که از آن جمله می‌توان سازگاری مشاهدات گوناگون را نام برد. این کنترل براساس یک رشته آزمون‌های آماری خواهد بود که مهمترین آنها آزمون فاکتور واریانس است.

۱-۵-۳ آزمون فاکتور واریانس

انتظار می‌رود که $\hat{\sigma}_0^2$ حاصل از سرشکنی با σ_0^2 اولیه، مقدار تقریباً یکسانی داشته باشد و در حالت ایده‌آل

$$\frac{\hat{\sigma}_0^2}{\sigma_0^2} = 1 \quad (44)$$

در عمل نیز با توجه به شرایط عملی، یک حد معقول بین این دو مقدار انتظار می‌رود. اما این اختلاف معقول چقدر است؟ با توجه به روابط حاکم بر این پارامترها

$$\hat{\sigma}_0^2 = \frac{\hat{v}^T P \hat{v}}{df} = \frac{\hat{\sigma}_0^2 \hat{v}^T C_{ll}^{-1} \hat{v}}{df} \quad (45)$$

$$\Rightarrow \hat{v}^T C_{ll}^{-1} \hat{v} = \frac{df \hat{\sigma}_0^2}{\sigma_0^2}$$

اما طبق قضیه χ^2 ، $\chi^2_{df} \rightarrow \chi^2_{df}$ در نتیجه

$$\frac{df \hat{\sigma}_0^2}{\sigma_0^2} \rightarrow \chi^2_{df} \quad (46)$$

برای محاسبه فاصله اطمینان باید آزمون آماری زیر عملی شود.

$$\begin{cases} H_0 : \hat{\sigma}_0^2 = \sigma_0^2 \\ H_1 : \hat{\sigma}_0^2 \neq \sigma_0^2 \end{cases} \quad (47)$$

این آزمون آماری با ریسک $\alpha\%$ ، فاصله اطمینان زیر را نتیجه خواهد داد.

$$C_{II'} = \begin{bmatrix} \sigma_{\Delta h_l}^{2^F} & \sigma_{11}^{FB} & \dots & \sigma_{lm}^{FF} & \sigma_{lm}^{FB} & 0 & \dots & 0 \\ \sigma_{11}^{FB} & \sigma_{\Delta h_l}^{2^B} & \dots & \sigma_{lm}^{BF} & \sigma_{lm}^{BB} & 0 & \dots & 0 \\ \vdots & \vdots & \ddots & \vdots & \vdots & \vdots & \ddots & \vdots \\ \sigma_{lm}^{FF} & \sigma_{ml}^{FB} & \sigma_{\Delta h_m}^{2^F} & \sigma_{mm}^{FB} & 0 & 0 & & \\ \sigma_{lm}^{FB} & \sigma_{ml}^{BB} & \sigma_{mm}^{FB} & \sigma_{\Delta h_m}^{2^B} & 0 & 0 & & \\ 0 & & & & \sigma_i^2 & 0 & & \\ \vdots & & & & \vdots & \vdots & \ddots & \vdots \\ 0 & 0 & \dots & 0 & 0 & 0 & \dots & \sigma_n^2 \end{bmatrix}$$

که m تعداد قطعات به کار رفته در سرشکنی و n تعداد نشان‌های به کار گرفته شده در سرشکنی است.

۴-۳ پردازش‌های قبل از سرشکنی

از آنجاکه مشاهدات در فضای فیزیکی صورت می‌گیرند، دارای انواع خطاهای سامان‌مند، اتفاقی و اشتباهات هستند. خطاهای اتفاقی در روش کمترین مربعات مشکلی ایجاد نمی‌کنند و تعديل می‌شوند ولی خطاهای سامان‌مند و اشتباهات نتایج حاصل از سرشکنی کمترین مربعات را تحت تأثیر قرار می‌دهند. روش کمترین مربعات دارای خصوصیات آماری بسیار مهمی است که در نظریه تقریب فوق العاده مهم هستند و این در صورتی است که مشاهدات عاری از خطاهای سامان‌مند و اشتباه و دارای تابع توزیع نرمال باشند. لذا پردازش‌های قبل از سرشکنی روی مشاهدات بسیار اهمیت دارند. انواع پردازش‌های قبل از سرشکنی عبارت‌اند از: آزمون مشاهدات نامتوافق (Outliers Observations) (Goodness of fit) آزمون تابع توزیع مشاهدات (Goodness of fit) قابل توجه در پردازش‌های قبل از سرشکنی این است که فقط مشاهداتی را که به صورت تکراری هستند می‌توان پردازش کرد. مشاهدات مرحله اول شبکه ترازیابی دقیق درجه یک ایران به دلیل تکراری نبودن، قابل پردازش نیستند و فقط اختلاف ارتفاعات به صورت رفت و برگشت است که قبلًا با استفاده از دستورالعمل‌های شبکه ترازیابی

قدر مطلق از بقیه بزرگتر است حذف و سرشکنی با بقیه مشاهدات تکرار می‌شود. این کار آنقدر تکرار می‌شود تا دیگر مشاهده‌ای حذف نشود. سپس اولین مشاهده حذف شده دوباره به مشاهدات باقی‌مانده اضافه و سرشکنی تکرار می‌شود. اگر مشاهده‌ای از آزمون رد شد، مشاهده اضافه شده در حکم مشاهده اشتباه قطعی، از فهرست مشاهدات حذف و در غیر این صورت به متزله مشاهده صحیح به فهرست مشاهدات اضافه می‌شود. این کار با بقیه مشاهداتی که از سرشکنی کنار گذاشته شده‌اند تکرار می‌شود. در پایان فهرستی از مشاهدات صحیح و اشتباه به دست می‌آید.

یکی از اشکالات این روش در تعیین مشاهدات اشتباه این است که با حذف مشاهدات، هندسه شبکه دچار ضعف می‌شود. برای جلوگیری از این اشکال، از آزمون برآورد پایدار (Robust Estimation) استفاده می‌شود.

۳-۵ آزمون برآورد پایدار

مراحل این آزمون کاملاً شبیه روش باردا است، با این تفاوت که در این روش به جای حذف مشاهدات، وزن آنها کم می‌شود. این روش دو حسن دارد. یکی اینکه هندسه دچار ضعف نمی‌شود و دیگری اینکه وزن مشاهدات به مقدار واقعی خود نزدیک‌تر می‌شود. در این روش برای برگرداندن مشاهده حذف شده به فهرست مشاهدات، وزن آن را افزایش می‌دهند (کریمی، ۱۳۸۲).

۴ بررسی مورده‌ی ارزیابی دقت و سرشکنی شبکه ترازیابی درجه یک ایران

با توجه به اطلاعات موجود از شبکه ترازیابی دقیق ایران ۵۸ لوب ترازیابی قابل استخراج است. توزیع این ۵۸ لوب در شکل ۳ نشان داده است. ابتدا آنالیز واریانس برای اطلاعات ترازیابی ۵۸ لوب پیش‌گفته صورت گرفت. نتایج مربوط به آن در جدول ۲ آمده است. نسبت MS

$$\chi^2_{df, \frac{\alpha}{2}\%} < \frac{df\hat{\sigma}_0^2}{\sigma_0^2} < \chi^2_{df, \left(1-\frac{\alpha}{2}\right)\%} \quad (48)$$

قرار گرفتن $\frac{df\hat{\sigma}_0^2}{\sigma_0^2}$ در بازه فوق نشان‌دهنده این است که با اطمینان $(1-\alpha)\%$ اختلاف بین $\hat{\sigma}_0^2$ و σ_0^2 معقول است و فرض صفر قبول شده است در غیر این صورت بین این دو اختلاف فاحش وجود دارد و فرض یک قبول شده است.

از مهم‌ترین دلایل رد شدن فرض صفر $\hat{\sigma}_0^2 = \sigma_0^2$ می‌توان به اشتباه بودن باقی‌مانده‌های برآورد شده که در واقع به معنی اشتباه بودن مشاهدات است و نبود تناسب بین وزن‌های نسبت داده شده به مشاهدات اشاره کرد. چرا که مستقیماً در تعیین $\hat{\sigma}_0^2$ نقش دارند (کریمی، ۱۳۸۲).

۲-۵-۳ آزمون باردا (Baarda)

برای کشف $\hat{\nu}_i$ ‌های اشتباه از آزمون باردا استفاده می‌شود. در این روش ابتدا $\hat{\nu}_i$ ‌ها را به دست آورده، با توجه به تعریف $\hat{\nu}_i$ ، $\hat{\nu}_i$ از تابع توزیع نرمال استاندارد تبعیت می‌کند، به عبارت دیگر

$$\hat{\nu}_i^* = \frac{\hat{\nu}_i}{\sigma_{\hat{\nu}_i}} \rightarrow N(0,1) \quad (49)$$

با سطح اطمینان $(1-\alpha)\%$ ، برای کنترل $\hat{\nu}_i$ ‌ها بازه زیر به دست می‌آید

$$Z_{\frac{\alpha}{2}\%} < \hat{\nu}_i^* < Z_{\left(1-\frac{\alpha}{2}\right)\%} \quad (50)$$

اگر $\hat{\nu}_i^*$ در بازه فوق قرار نداشت، در حکم مشاهده مشکوک در نظر گرفته می‌شود. در هر بار سرشکنی، مجموعه‌ای از مشاهدات به دست می‌آید. از این مجموعه، مشاهده‌ای را که $\hat{\nu}_i^*$ آن از نظر قدر مطلق از بقیه بزرگ‌تر است را حذف می‌کنند و سرشکنی با بقیه مشاهدات تکرار می‌شود. دوباره آزمون صورت می‌گیرد و باز مجموعه‌ای از مشاهدات مشکوک به دست می‌آید. سپس از مجموعه حاصل، مشاهده‌ای را که $\hat{\nu}_i^*$ آن از نظر

شامل ۶۰ خط ترازیابی، ۳۵۰۱ قطعه ترازیابی و ۳۴۹۳ نقطه، دارای اطلاعات گرانی کامل و قابل اعتماداند. توزیع این ۱۳ لوپ در شکل ۶ نشان داده است. از آنجاکه در سرشکنی شبکه به روش مطرح شده نیاز به اطلاعات گرانی است، فقط این ۱۳ لوپ در سرشکنی مورد استفاده قرار گرفته است.

با توجه به روابط پیش‌گفته برای محاسبه ماتریس وزن، نیاز به تعیین ماتریس واریانس-کواریانس مشاهدات اولیه (C_{II}) است. در تعیین این ماتریس برای واریانس شتاب گرانی نقاط از اطلاعات دریافت شده از سازمان نقشه‌برداری کشور استفاده شد و واریانس و کواریانس مربوط به مشاهدات اختلاف ارتفاع با توجه به مقادیر به دست آمده برای α و λ ، از رابطه (۴۲) محاسبه شده است و پس از آن با تشکیل سایر ماتریس‌های موردنیاز از رابطه (۳۰) بردار تصویحات محاسبه شدند. ابعاد ماتریس‌های تشکیل شده در جدول ۳ آمده است.

از میان آزمون‌های بعد از سرشکنی، آزمون‌های فاکتور واریانس و آزمون برآورده پایدار روی نتایج سرشکنی صورت گرفت. قابل ذکر است که به دلیل ایجاد ضعف در شبکه ترازیابی از آزمون باردا استفاده نشده است. پس از اجرای آزمون‌های بعد از سرشکنی و به دست آوردن بردار تصویح‌های نهایی از رابطه (۳۱) اختلاف پتانسیل‌های سرشکن شده حاصل شدند. اطلاعات و نتایج مربوط به روش سرشکنی مطرح شده در جدول‌های ۴ و ۵ آورده شده است. در این جدول‌ها σ^2_0 فاکتور واریانس ثانویه، $\bar{\sigma}_0$ میانگین جذر عضوهای روی قطر اصلی ماتریس واریانس-کواریانس مشاهدات به مترمربع بر مجذور ثانیه، $\bar{\sigma}_\alpha$ میانگین جذر عضوهای روی قطر اصلی ماتریس واریانس-کواریانس مشاهدات برآورده شده به مترمربع بر مجذور ثانیه، $\bar{\sigma}_\lambda$ میانگین جذر عضو روی قطر اصلی ماتریس واریانس-کواریانس تصویح‌های برآورده شده به مترمربع بر مجذور ثانیه و $\bar{\sigma}_\alpha$ میانگین قدر

بین خطوط به MS درون خطوط $F = 4.4443$ است که در سطح اطمینان ۹۵٪، مقدار نظریه تابع توزیع فیشر $F_{theo} = 1.1714$ و این بدان معنی است که میانگین خطوط با یکدیگر برابر نیست و واریانس‌ها نیز همگن نیستند، بنابراین مشاهدات ترازیابی در طول خطوط دارای خطاهای سامان‌مند هستند.

خطاهای اتفاقی و سامان‌مند برای هر خط ترازیابی با استفاده از فرمول‌های لامنده محاسبه شد. خطای اتفاقی دارای متوسط $\pm 0.6754 \text{ mm} / \sqrt{\text{km}}$ است و خطای سامان‌مند نیز با استفاده از اختلاف خطوط ترازیابی دارای متوسط $0.1299 \text{ mm} / \text{km}$ است. اندازه خطاهای سامان‌مند و اتفاقی این خطاهای درون شبکه و بافت‌نگار (هیستوگرام) مربوط به مقادیر آنها برای هر خط ترازیابی به ترتیب در شکل‌های ۴ و ۵ نشان داده شده است. خطای سامان‌مند متوسط با استفاده از خطای بست لوپ‌ها نیز محاسبه شده که مقدار آن برابر $0.1030 \text{ mm} / \text{km}$ است.

با استفاده از روابط ویگنال نیز؛ که آخرین فرمول‌های پذیرفته شده برای محاسبه خطای اتفاقی و سامان‌مند است، مقادیر این خطاهای محاسبه شد. مقادیر متوسط خطاهای اتفاقی و سامان‌مند (روابط (۲۴) و (۲۷)) به ترتیب $\pm 0.6529 \text{ mm} / \sqrt{\text{km}}$ و $1.2892 \text{ mm} / \text{km}$ محاسبه شده است.

همان‌طور که در بخش ۱-۲-۳ بیان شد، برای محاسبه α و λ نیاز به محاسبه مقدار حدی اتفاقی متوسط خطای کلی براساس خطوط و قطعات ترازیابی است که به ترتیب $u_\alpha = 0.70 \text{ mm} / \sqrt{\text{km}}$ و $u_\lambda = 1.45 \text{ mm} / \sqrt{\text{km}}$ به دست آمد. درنهایت مقادیر α و λ در کل شبکه به ترتیب 0.67 و 0.89 به دست آمد.

از میان ۵۸ لوپ ترازیابی قابل استخراج تعدادی از لوپ‌ها قادر مشاهدات گرانی کافی هستند و تعدادی از آنها نیز در مشاهدات ترازیابی نقص دارند و فقط ۱۳ لوپ،

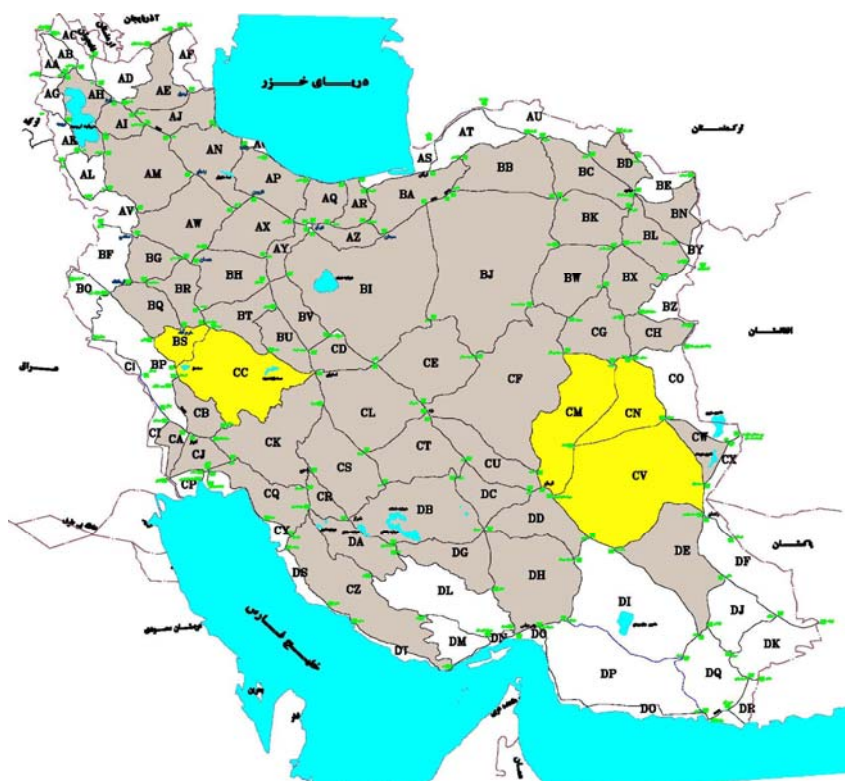
به منظور محاسبه اختلاف ارتفاع ارتومنتیریک، ابتدا بایستی در نقاط ترازیابی شبکه گرانی متوسط در امتداد خط شاقولی گذرنده از نقطه را محاسبه کرد. برای این کار از روش عرضه شده (صفری و مصطفایی، ۱۳۸۷) استفاده شده است. با استفاده از رابطه (۶)

$$\Delta H = \frac{H_{\text{top}} - H_{\text{bottom}}}{L} \cdot L$$

اختلاف ارتفاع ارتومنتیریک در لوب‌های موردنظر محاسبه شد.

مطلق تصحیح‌های برآورده شده به مترمربع بر مجدور ثانیه است.

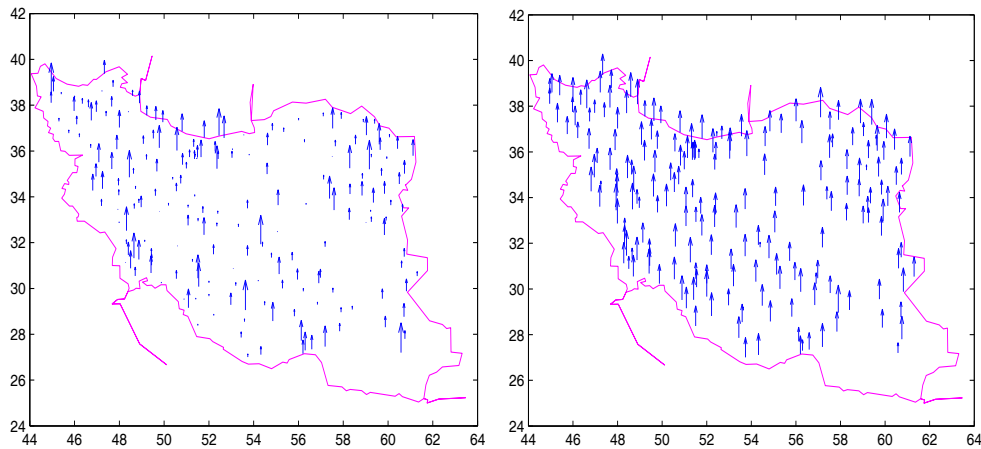
با در اختیار داشتن اختلاف پتانسیل‌های سرشکن شده می‌توان اختلاف ارتفاع دینامیک و اختلاف ارتفاع ارتومنتیریک را در لوب‌های موردنظر در شبکه ترازیابی ایران محاسبه کرد. برای محاسبه اختلاف ارتفاع دینامیک از رابطه (۴) استفاده شد.



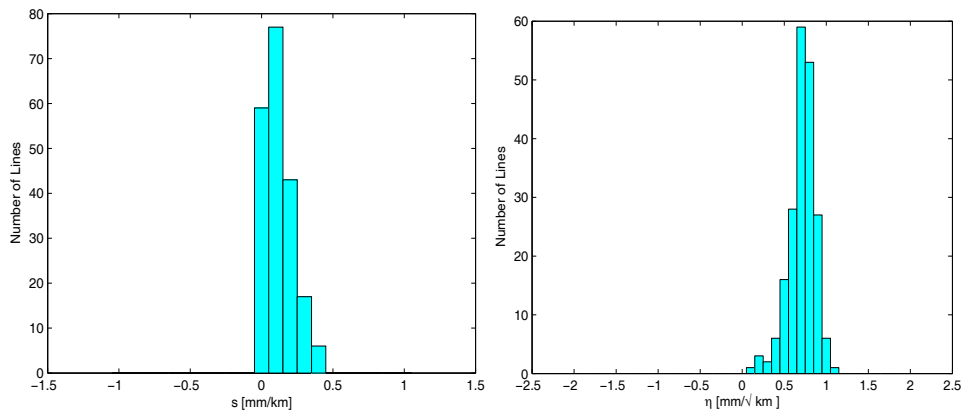
شکل ۳. شبکه ترازیابی درجه ۱ طراحی شده برای ایران و پراکندگی اطلاعات ترازیابی موجود، نام هر لوب درون آن نوشته شده است.

جدول ۲. نتایج آنالیز واریانس خطوط ترازیابی شبکه ترازیابی دقیق ایران.

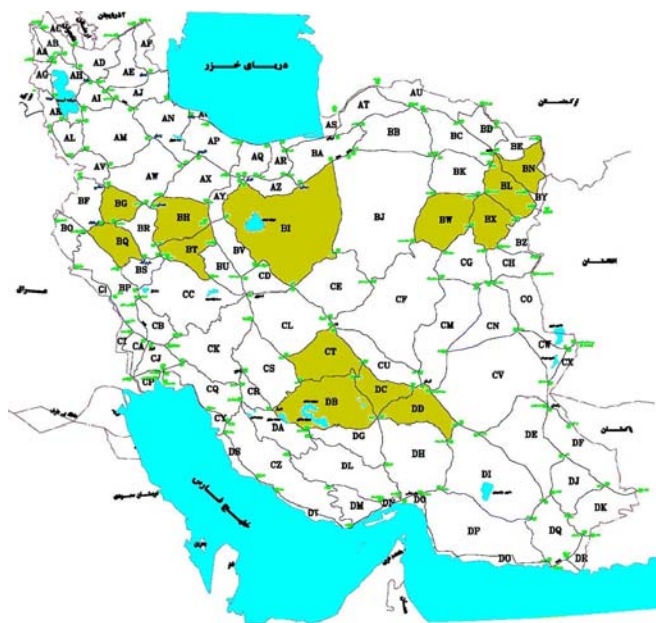
$1-\alpha$	F_{theo}	F	میانگین مربعات (MS)	درجه آزادی (DF)	مجموع مربعات (SS)	منع تغییرات
۰.۹۵	۱.۱۷۱۴	۴.۴۴۴۳	۳.۸۸۸	۲۰۱	۷۸۱.۵۲۷	بین خطوط
			۰.۸۷۵	۱۱۲۰۸	۹۸۰۵.۶۵۳	درون خطوط
			۰.۹۲۸	۱۱۴۰۹	۱۰۵۸۷.۱۸۰	کلی



شکل ۴. توزیع اندازه خطاهای اتفاقی در کل شبکه (نقشه سمت راست) و توزیع اندازه خطاهای سامان‌مند در کل شبکه (نقشه سمت چپ).



شکل ۵. بافت‌نگار خطاهای اتفاقی در کل شبکه (سمت راست) و بافت‌نگار خطاهای سامان‌مند در کل شبکه (سمت چپ).



شکل ۶. پرکندگی لوپ‌های دارای اطلاعات گرانی کامل.

جدول ۳. ابعاد ماتریس‌های تشکیل شده در سرشکنی.

P	J	C_{l'l'}	w	B	l	ماتریس
350×350	350×10495	10495×10495	13×1	13×350	350×1	ابعاد

جدول ۴. نتایج حاصل از سرشکنی قبل از آزمون برآورد پایدار.

\hat{v}	$\bar{\sigma}_{\hat{v}}$	$\bar{\sigma}_l$	$\bar{\sigma}_l$	$\hat{\sigma}_0^2$
0.0057	0.000238	0.0085	0.0091	150.3671

جدول ۵. نتایج حاصل از سرشکنی پس از آزمون برآورد پایدار.

\bar{v}	$\bar{\sigma}_{\hat{v}}$	$\bar{\sigma}_l$	$\bar{\sigma}_l$	$\hat{\sigma}_0^2$
0.0043	0.00942	0.0493	0.0517	1.0524

واقعیت است که در روابط لالمند از خطای بست لوپ‌ها استفاده می‌شود در حالی که در روابط ویگنال از قطعات ترازیابی استفاده می‌شود. دلیل بزرگ بودن خطای سامان‌مند حاصل از روابط ویگنال نسبت به روابط لالمند را می‌توان ناشی از این واقعیت دانست که در هنگام استفاده از خطای بست، لوپ‌ها بسیاری از تأثیرات خود را نشان نمی‌دهند ولی در روابط ویگنال که از قطعات ترازیابی استفاده شده است اثرات بیشتری از خطاهای خود را آشکار می‌سازند و بنابراین عدد بزرگ‌تری برای نتیجه روابط ویگنال به دست آمده است. مقادیر α و λ در کل شبکه نیز به ترتیب برابر 0.67 و 0.89 به دست آمد. با توجه به اینکه فقط ۱۳ لوپ، شامل ۶۰ خط ترازیابی، ۳۵۰ قطعه ترازیابی و ۳۴۹۳ نقطه، دارای اطلاعات گرانی کامل و قابل اعتماد است، سرشکنی در مورد این لوپ‌ها صورت گرفت. پس از انجام سرشکنی، اختلاف پتانسیل‌های سرشکن شده به دست آمد. اکنون با در اختیار داشتن اختلاف پتانسیل‌های سرشکن شده، می‌توان اختلاف ارتفاع دینامیک و اختلاف ارتفاع ارتو متريک را در لوپ‌های مورد نظر در شبکه ترازیابی ایران محاسبه کرد.

۵ بحث و نتیجه‌گیری

در این مقاله دقیق در شبکه ترازیابی درجه یک ایران با استفاده از فرمول‌های لالمند و ویگنال مورد بررسی قرار گرفت. ابتدا آنالیز واریانس برای اطلاعات ترازیابی ۵۸ لوپ پیش‌گفته صورت گرفت. براساس نتایج حاصل از آنالیز واریانس مشخص شد که مشاهدات ترازیابی در طول خطوط دارای خطاهای سامان‌مند هستند.

خطاهای اتفاقی و سامان‌مند برای هر خط ترازیابی با استفاده از فرمول‌های لالمند محاسبه شد. خطای اتفاقی دارای متوسط $mm/\sqrt{km} = 0.6754$ و خطای سامان‌مند نیز با استفاده از اختلافات خطوط ترازیابی دارای متوسط $mm/km = 0.1299$ است. خطای سامان‌مند متوسط با استفاده از خطای بست لوپ‌ها نیز محاسبه شد که مقدار آن برابر $mm/km = 0.1030$ است.

با استفاده از روابط ویگنال نیز که آخرین فرمول‌های پذیرفته شده برای محاسبه خطای اتفاقی و سامان‌مند است، مقادیر این خطاهای محاسبه شد. مقادیر متوسط خطاهای اتفاقی و سامان‌مند به ترتیب برابر با $mm/\sqrt{km} = 0.6529$ و $mm/km = 1.2892$ به دست آمد. اختلاف نتایج مربوط به خطای سامان‌مند ناشی از این

- منابع

Vanicek, P. and Craymer, M., 1983, Autocorrelation functions as a diagnostic tool in leveling, In H. Pelzer and W. Niemeier (editors, (Precise Levelling, Dummler Verlag, Bonn, 327-341

Vanicek, P. and Krakiwsky, E. J., 1986, Geodesy: the Concepts, Elsevier Science Publishers.

Voosoghi, B., 1994, Investigation of systematic error in first order leveling on Iran, M. S. thesis, Dep. Of Surveying Engineering, K. N. Toosi University, Tehran.

Vignal, J., 1936, Evaluation de la préécision d'une méthode de Nivellement, Bulletin Géodésique, **49**(1), 1-3.

Wassef, A. M., 1955, Statistical analysis of discrepancies in leveling with applications to the first-order leveling of the Nile Delta, Bulletin Géodésique, N. 36.

Wassef, A. M., 1957, Note on the application of mathematical statistics to leveling errors, Report of the special study group N. 3 of the International Association of Geodesy to the Eleventh General Assembly in Toronto.

Wassef, A. M. and Messh, F. Z. A., 1960, On the statistical distribution of leveling errors, Bulletin Géodésique, N. 56.

Wassef, A. M., 1962, Principles and methods of statistical analysis of leveling errors, Travaux de L'Association Internationale De Geodesie, vol. 21, Paris.

Wassef, A. M., 1974, On the search for reliable criteria for the accuracy of precise leveling based on statistical considerations of the discrepancies, Bulletin Géodésique, **112**, 149-163.

صفری، ع.، مصطفایی، ع.، ۱۳۸۷، روشی برای محاسبه شتاب گرانی متوسط براساس حل مسئله مقدار مرزی و اسپلاین‌های هارمونیک، مجله فیزیک زمین و فضا، عرضه به منظور انتشار.

کریمی، ر.، ۱۳۸۲، پردازش مشاهدات ترازیابی دقیق ایران و تعیین اعداد ژئوپتانسیلی برای کل شبکه، پایان‌نامه کارشناسی ارشد، دانشکده فنی دانشگاه تهران.

یوسفی، ا.، ۱۳۸۶، محاسبه ارتفاع نرمال در شبکه ترازیابی دقیق ایران، پایان‌نامه کارشناسی ارشد، دانشکده فنی دانشگاه تهران.

Ebong, M., 1985, On the use of multiple comparisons test for the analysis of leveling discrepancies, Bulletin Géodésique, **59**(1), 1-10.

Heiskanen, W. H. and Moritz, H., 1967, Physical Geodesy, W. H. Freeman and Co., San Francisco, USA.

Hofmann-Wellenhof, B. and Moritz, H., 2006, Physical Geodesy, Second corrected edition, Springer Wien New York.

Jekeli, C., 2000, Heights, the geopotential, and vertical datums, Geodetic science and surveying, Department of civil and environmental engineering and geodetic science, The Ohio State University, Report No.459.

Łyszkowicz, A. and Leonczyk, M., 2005, Accuracy of the last precise leveling campaign in Poland, EUREF symposium in Vienna.

Łyszkowicz, A. and Jackiewicz, A., 2007, Correlation in Polish precise levelling network, Symposium of the IAG Subcommission for Europe(EUREF).

Meamarzadeh, Y., 1998, Refraction effect and statistical analysis of the Iranian first order precise leveling data, M. S. thesis, Dept. of Surveying Engineering, K. N. Toosi University, Tehran.

Moosavi, A. H., 1996, Testing the Efficiency of Leveling Corrections in Iranian First Order Network, M. S. thesis, Dept. of Surveying Engineering, K. N. Toosi University, Tehran.

Sanso, F. and Vanicek, P., 2006, The orthometric height and the holonomy problem, Journal of Geodesy, **80**, 225-232.